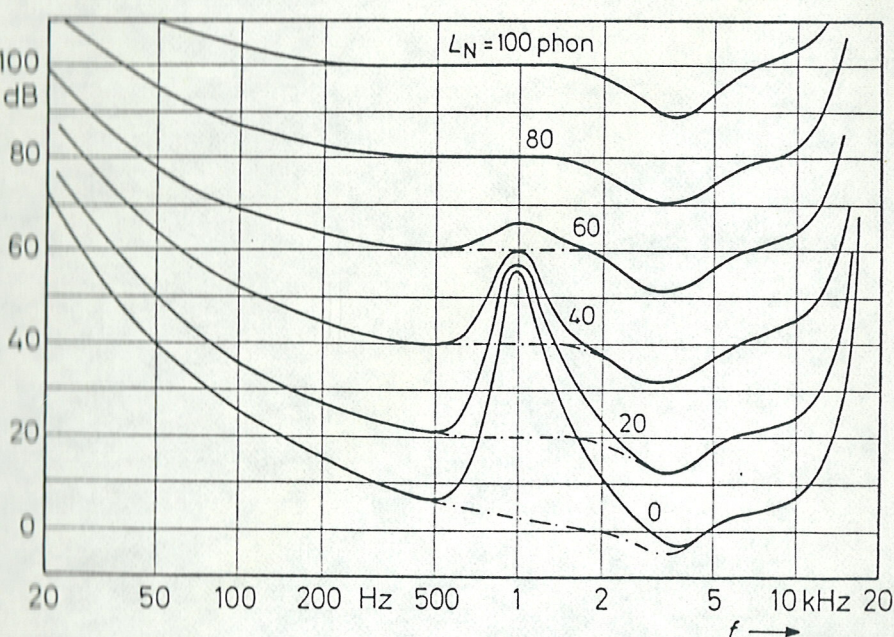


$\overbrace{Fig. 1}$ Phon-Kurven bei Anwesenheit eines gleichmäßig verdeckenden Störrauschens von $60 \text{ dB} / \Delta f_G$ (bei $f \leq 500 \text{ Hz}$)



$\overbrace{Fig. 2}$ Kurven gleicher Lautstärke in der Hörläche für das ebene Schallfeld bei Schmalbandstörrauschen von 60 dB

MEB London '80 (27.2.80): Abbildungen

Adequate Dynamic Range at Varying Environmental Noise

Fig.1: Curves of equal loudness level of a tone perceived together
14/12 with a narrow band noise of 60 dB SPL. (Berlin '78 Bild 2 S.104)

Fig.2: Phone-curves of a tone perceived together with a /12
13 uniform masking noise of 60 dB per critical band width.
(Berlin '78 Bild 1 S.102)

Fig.3: Recruitment above the raised hearing threshold. /S.76)
14 (F.J.MEISTER, Ak.Meßt.d.Gehörprüfung, Karlsruhe 1954 Fig.43a)

14/16 Fig.4: Expansion by the ear at various noise levels from 35 to 95 dB
bew. Expansion curves at noise levels from 35 to 95 dB SPL. /SPL.

Fig.5: Compression depending on annoying noise with various
14/17 sound pressure levels compensating the expansion by the ear.

Fig.6: Compression and expansion curves, depending on annoying
14/18 noise with various SPL's, for precompressed signals with
dynamics of about 37 dB.

Fig.7: Transfer curves of an older compander system
14/19 Aussteuerungskennlinien eines älteren Komnader-Systems
(AEG=Telefunken: TELCOM C4D Beschreibung Fig.3)

Fig.8: Expansionskurve des Gehörs für einen durch $40 \text{ dB}/\Delta f_G$ Schmal-
14/20 bandrauschen gedrosselten 1 kHz-Ton (nach ZWICKER 1963)
(Kompression zur Herstellung natürlicher dynamischer
Verhältnisse beim Abhören unter verschiedenen umwelt-
bedingten Störschalleinflüssen. Ber.11.Tonmstr.-Tagg.
Berlin '78, Bild 4 S.105)

Fig.5 Berlin '78: Vergleich d. Phunkurven bei Doseg. einer
14/15 Bild 3 1kHz-Tone